

DEK-OSR-T.6222.284.2024

Warszawa, dn. 2024-07-30

T-Mobile Polska S.A.
ul. Marynarska 12
02-674 Warszawa

Pełnomocnik:

Pełnomocnictwo numer: 162/01/21
z dnia: 2021-01-13

dane do korespondencji:

NetWorks Sp. z o.o.
ul. Abpa Baraniaka 6
61-131 Poznań
tel.

Prezydent Miasta Łodzi
Urząd Miasta Łodzi
ul. Piłsudskiego 100
90-926 Łódź

Dotyczy: ustawowego obowiązku, wynikającego z art. 152 ust. 1 i ust. 7 w związku z ust. 6 pkt 1c ustawy z dnia 27 kwietnia 2001r – Prawo ochrony środowiska (Dz.U. 2024 poz. 54).

Działając z upoważnienia T-Mobile Polska S.A. z siedzibą ul. Marynarska 12, 02-674 Warszawa, informuję o zmianie danych w zakresie nazwy instalacji oraz wielkości i rodzaju emisji dla instalacji radiokomunikacyjnej **29773(90058N!)** zlokalizowanej w miejscowości ŁÓDŹ, ul. JÓZEFA IGNACEGO KRASZEWSKIEGO 7/9. W stosunku do informacji zawartej w zgłoszeniu realizowanym dla tej instalacji w trybie art. 152 ust. 1 i 5 ustawy z dnia 27 kwietnia 2001r – Prawo ochrony środowiska (Dz.U. 2024 poz. 54), dane ulegają zmianie w następujący sposób:

2. Nazwa instalacji zgodna z nazewnictwem stosowanym przez prowadzącego instalację:

Instalacja radiokomunikacyjna - **29773 (90058N!) WLD_LODZ_KRASZEWSKIEG9**

9. Wielkość i rodzaj emisji²⁾:

Pole elektromagnetyczne. EIRP poszczególnych anten zostało podane w pkt 12, tj.

Lp.	Równoważna moc promieniowana izotropowo (EIRP) [W]
1.	57020
2.	20758
3.	57020
4.	20758
5.	57020
6.	20758
7.	1

12. Szczegółowe dane, odpowiednio do rodzaju instalacji, zgodne z wymaganiami określonymi w załączniku nr 2 do Rozporządzenia:

Lp.	1)	2)	3)	4)	5)	
	Współrzędne geograficzne	Częstotliwość lub zakresy częstotliwości pracy instalacji [MHz]	Wysokość środka elektrycznego anteny [m n.p.t]	Równoważna moc promieniowana izotropowo (EIRP) [W]	Azymut [°]	Kąt pochylenia lub zakresy kątów pochylenia [°]
1.	19°28'53.6" 51°44'8"	3600	17.2	57020	80	0-10
2.	19°28'53.6" 51°44'8"	800/900/1800/ 2100/2600	19.2	20758	80	0-12/ 0-12/0-12/ 0-12/0-12
3.	19°28'53.5" 51°44'8"	3600	17.2	57020	192	0-6
4.	19°28'53.5" 51°44'8"	800/900/1800/ 2100/2600	19.2	20758	192	0-12/ 0-12/0-12/ 0-12/0-12
5.	19°28'53.5" 51°44'8"	3600	17.2	57020	290	0-10
6.	19°28'53.5" 51°44'8"	800/900/1800/ 2100/2600	19.2	20758	290	0-12/ 0-12/0-12/ 0-12/0-12
7.	19°28'53.5" 51°44'8"	38000	20	1	310*	nd.

*) tolerancja azymutu od -10° do + 10°.

Informuję, iż dokonane zmiany w zakresie wielkości i rodzaju emisji przedmiotowej instalacji nie powodują zmiany instalacji w sposób istotny zgodnie z art. 3 pkt 7 ustawy Poś.

W załączniku przesyłam:

1. Pełnomocnictwo
2. Kopia potwierdzenia wniesienia opłaty skarbowej.
3. Sprawozdanie z pomiarów pól elektromagnetycznych wykonanych dla celów ochrony środowiska.

Otrzymują:

1. a/a
2. adresat



Signed by /
Podpisano przez:

-

Date / Data:
2024-07-30 15:33



NetWorks Sp. z o.o.
Laboratorium Badań Środowiskowych
ul. Józefa Piusa Dziekońskiego 3
00-728 Warszawa
e-mail: Laboratorium@networks.pl



AB 419

S P R A W O Z D A N I E 4472/2024/OS
Z POMIARÓW PÓL ELEKTROMAGNETYCZNYCH
WYKONANYCH DLA POTRZEB OCHRONY ŚRODOWISKA

Badany obiekt: Instalacja radiokomunikacyjna T-Mobile Polska S.A.
Numer i nazwa: 29773 (90058N!) WLD_LODZ_KRASZEWSKIEG9
Adres: ŁÓDŹ, JÓZEFA IGNACEGO KRASZEWSKIEGO 7/9, Powiat m. Łódź, WOJ. ŁÓDZKIE

Data wykonania pomiarów: 2024-07-24

Sprawozdanie z badań bez pisemnej zgody laboratorium nie może być powielane inaczej niż w całości.
Wynik przedstawione w niniejszym sprawozdaniu odnoszą się wyłącznie do badanego obiektu i do warunków i konfiguracji urządzeń w dniu wykonywania pomiarów.

1. Właściciel badanego obiektu:

T-Mobile Polska S.A., ul. Marynarska 12, 02-674 Warszawa

2. Zleceniodawca:

T-Mobile Polska S.A., ul. Marynarska 12, 02-674 Warszawa

3. Przedstawiciel zleceniodawcy:

NetWorks Sp. z o.o.

4. Zakres zlecenia:

Wykonanie badania i opracowanie sprawozdania z pomiarów natężenia pola elektrycznego i pola magnetycznego dla instalacji radiokomunikacyjnej T-Mobile Polska S.A. zlokalizowanej w miejscowości ŁÓDŹ, JÓZEFA IGNACEGO KRASZEWSKIEGO 7/9.

5. Cel zlecenia:

Wykonanie pomiarów pól elektromagnetycznych w otoczeniu instalacji radiokomunikacyjnej 29773 (90058N!) WLD_LODZ_KRASZEWSKIEG9 w odniesieniu do wymagań określonych w *Rozporządzeniu Ministra Klimatu z dnia 17 lutego 2020 r. w sprawie sposobów sprawdzania dotrzymania dopuszczalnych poziomów pól elektromagnetycznych w środowisku (Dz.U. 2022 poz. 2630)*.

6. Pomiary zostały wykonane przez:

7. Informacje o źródłach pól elektromagnetycznych

7.1. Sposób identyfikacji badanych źródeł pól elektromagnetycznych

Identyfikacji źródeł i parametrów technicznych dokonano na podstawie analizy dokumentacji dotyczącej zlecenia oraz obserwacji miejsca wykonywania badań.

7.2. Opis miejsca zainstalowania anten i urządzeń technicznych. Opis obiektu badań i jego otoczenia

Instalacja radiokomunikacyjna zlokalizowana jest na dachu. Anteny zawieszono na maszcie usytowanym na dachu budynku. Urządzenia sterujące oraz zasilające zainstalowano w kontenerze na dachu budynku. Wokół instalacji znajduje się miasto.

Instalacja radiokomunikacyjna jest obiektem bezobsługowym. Okresowe stanowiska pracy związane są z prowadzonymi w zależności od potrzeb konserwacjami, przeglądami, strojeniem i naprawami.

Sprawozdanie z badań bez pisemnej zgody laboratorium nie może być powielane inaczej niż w całości.
Wynik przedstawione w niniejszym sprawozdaniu odnoszą się wyłącznie do badanego obiektu i do warunków i konfiguracji urządzeń w dniu wykonywania pomiarów.

7.3. Parametry techniczne źródła pola elektromagnetycznego

Dane przedstawiające maksymalne parametry pracy instalacji przekazane przez zleceniodawcę:

Parametry systemu nadawczo-odbiorczego:

Charakterystyka promieniowania		kierunkowa					
Rzeczywisty czas pracy [h/dobę]		24					
Warunki pracy		znamionowe					
Rodzaj wytwarzanego pola		stacjonarne					
Lp.	Częstotliwość lub zakresy częstotliwości pracy [MHz]	Typ/producent anteny	liczba anten	Azymut [°]	kął pochylenia [°]	Wysokość środka elektrycznego anteny [m n.p.t.]	Równoważna moc promieniowana izotropowo (EIRP) [W]
1	3600	AAU5339W Huawei	1	80	0-10**	17.2	57020
2	800/900/1800/2100/2600	RRV4-65A-R6-V2 CommScope	1	80	0-12**/0-12**/ 0-12**/0-12**/ 0-12**	19.2	20758
3	3600	AAU5339W Huawei	1	192	0-6**	17.2	57020
4	800/900/1800/2100/2600	RRV4-65A-R6-V2 CommScope	1	192	0-12**/0-12**/ 0-12**/0-12**/ 0-12**	19.2	20758
5	3600	AAU5339W Huawei	1	290	0-10**	17.2	57020
6	800/900/1800/2100/2600	RRV4-65A-R6-V2 CommScope	1	290	0-12**/0-12**/ 0-12**/0-12**/ 0-12**	19.2	20758

* wskazane wartości kąta pochylenia anten, zgodnie z informacją uzyskaną od zleceniodawcy, są wartościami stałymi

** pomiary wykonano zgodnie z pkt 13., ppkt 2 załącznika do Rozporządzenia Ministra Klimatu z dnia 17 lutego 2020 r. (Dz. U. 2022, poz. 2630).

Parametry radiolinii:

Charakterystyka promieniowania		kierunkowa					
Rzeczywisty czas pracy [h/dobę]		24					
Warunki pracy		znamionowe					
Rodzaj wytwarzanego pola		stacjonarne					
Lp.	Linia radiowa			Antena			
	Typ/Producent	Częstotliwość pracy [GHz]	Równoważna moc promieniowana izotropowo (EIRP) [W]	Typ/producent	Średnica anteny [m]	Azymut [°]	Wysokość zainstalowania n.p.t [m]
1.	ERICSSON 6651 6363 Harris Stratex	38	1	ANT3_0.3 38 HP/HPX Ericsson	0.3	310	20

7.4 Inne źródła pól elektromagnetycznych

Na podstawie informacji otrzymanych od użytkownika oraz obserwacji otoczenia miejsca wykonywania pomiarów nie stwierdzono występowania innych źródeł pola-EM

8. Opis pomiarów

8.1. Metoda badań

Zgodna z rozporządzeniem Ministra Klimatu z dnia 17 lutego 2020 r. w sprawie sposobów sprawdzania dotrzymania dopuszczalnych poziomów pól elektromagnetycznych w środowisku (Dz.U. 2022 poz. 2630), określona w pkt 25 ppkt 1 załącznika do niniejszego rozporządzenia.

Sprawozdanie z badań bez pisemnej zgody laboratorium nie może być powielane inaczej niż w całości.
 Wynik przedstawione w niniejszym sprawozdaniu odnoszą się wyłącznie do badanego obiektu i do warunków i konfiguracji urządzeń w dniu wykonywania pomiarów.

8.2. Termin pomiarów i warunki środowiskowe

Podczas wykonywania pomiarów pól elektromagnetycznych nie występowały opady atmosferyczne. Wyniki pomiaru parametrów pogodowych przedstawia poniższa tabela:

Data [rrrr-mm-dd]	Godzina [hh:mm-hh:mm]	Warunki środowiskowe			
		Temperatura [°C]		Wilgotność względna [%]	
2024-07-24	13:45-15:30	Przed pomiarem	Po pomiarach	Przed pomiarem	Po pomiarach
		20.7	21.6	66.3	65.2

Przedstawione wyżej warunki środowiskowe, występujące podczas wykonywania pomiarów pól elektromagnetycznych, są zgodne ze specyfikacją techniczną użytego zestawu pomiarowego.

8.3. Warunki pracy urządzeń nadawczych

Podczas pomiarów w przypadku uzyskania wyniku pomiaru szerokopasmowego wykonanego zastosowaną metodą, dla zakresów częstotliwości od 10 MHz do 300 GHz, powiększonego o rozszerzoną niepewność pomiaru U dla współczynnika rozszerzenia $k = 2$ przekraczającego 70% najniższej dopuszczalnej wartości składowej elektrycznej lub magnetycznej pola dla objętych pomiarami zakresów częstotliwości, uwzględnia się poprawki pomiarowe przekazane przez zleceniodawcę, umożliwiające uwzględnienie maksymalnych parametrów pracy instalacji zgodnie z pkt 7 załącznika do Rozporządzeniem Ministra Klimatu z dnia 17 lutego 2020 r. w sprawie sposobów sprawdzania dotrzymania dopuszczalnych poziomów pól elektromagnetycznych w środowisku (Dz. U. 2022, poz. 2630) zaznaczając, że wymagane jest wykonanie pomiaru z wykorzystaniem miernika selektywnego. W przypadku uzyskania wyniku pomiaru szerokopasmowego wykonanego zastosowaną metodą, dla zakresów częstotliwości od 10 MHz do 300 GHz, powiększonego o rozszerzoną niepewność pomiaru U dla współczynnika rozszerzenia $k = 2$ nieprzekraczającego 70% najniższej dopuszczalnej wartości składowej elektrycznej lub magnetycznej pola dla objętych pomiarami zakresów częstotliwości, nie uwzględnia się poprawek pomiarowych.

8.4. Wyposażenie pomiarowe

Zestaw pomiarowy służący do pomiaru natężenia składowej elektrycznej pola elektromagnetycznego złożony z szerokopasmowego miernika i sondy pomiarowej:

Oznaczenie miernika	Producent	Model	Numer fabryczny	Oznaczenie sondy	Producent	Model	Numer fabryczny
MW-06	Wavecontrol	Miernik pól elektromagnetycznych SMP2	22SN2088	SW-11	Wavecontrol	Sonda WPF60	22WP230219

Mierniki natężenia pola elektromagnetycznego podlegają okresowemu sprawdzeniu zgodnie z procedurą wewnętrzną P-03 i PB-01. Świadectwo wzorcowania zestawu pomiarowego z dnia 4 listopada 2022 o numerze LWIMP/W/334/22 wydane przez Politechnikę Wrocławską.

Data ważności świadectwa wzorcowania: 4 listopada 2024 (zgodnie z procedurą wewnętrzną P-03).

Termohigrometr:

Oznaczenie:	TH-15	Producent:	AZ INSTRUMENT CORP	Model:	Termohigrometr AZ8706
-------------	-------	------------	--------------------	--------	-----------------------

Data ważności świadectwa wzorcowania: 3 stycznia 2025 (zgodnie z procedurą wewnętrzną P-03).

Dalmierz:

Oznaczenie	Producent	Typ	Numer seryjny	Nr świadectwa wzorcowania	Data świadectwa wzorcowania
D-15	Leica	Dalmierz Leica Disto D510	1061801909	L4- L41.4180.14.2017.3086.1	1 września 2017

Data ważności świadectwa wzorcowania: 1 września 2027 (zgodnie z procedurą wewnętrzną P-03).

Odbiornik GNSS:

Odbiornik GNSS wbudowany w miernik natężenia pola elektromagnetycznego użyty podczas pomiarów	Producent		Model	
		UBlox		MAX-M8Q

Odbiorniki podlegają okresowemu sprawdzeniu zgodnie z procedurą wewnętrzną P-03.

Sprawozdanie z badań bez pisemnej zgody laboratorium nie może być powielane inaczej niż w całości. Wynik przedstawione w niniejszym sprawozdaniu odnoszą się wyłącznie do badanego obiektu i do warunków i konfiguracji urządzeń w dniu wykonywania pomiarów.

9. Wyniki pomiarów

Pole elektryczne

Nr pionu	Opis umiejscowienia pionu (punktu pomiarowego)	Wysokość pomiaru [m]	Zmierzona wartość natężenia pola elektrycznego E [V/m] ^{1,5}	Wartość natężenia pola elektrycznego powiększona o niepewność pomiaru* E [V/m]	Wskaźnikowa wartość poziomu emisji pól elektromagnetycznych WMe ³	Współrzędne geograficzne pionu (punktu pomiarowego) ²
1	DPP - w płaszczyźnie otworu okiennego biura, piętro 1/1, Józefa Ignacego Kraszewskiego 7/9, Łódź	2.0	2.3	3.6	0.13	51°44'7.4" 19°28'53.4"
2	DPP - na tarasie biura, piętro 1/1, Józefa Ignacego Kraszewskiego 7/9, Łódź	2.0	2.2	3.5	0.12	51°44'7.1" 19°28'53.4"
3	DPP - w płaszczyźnie otworu okiennego biura, piętro 1/1, Józefa Ignacego Kraszewskiego 7/9, Łódź	0.3-2.0	<1.0*	1.6	0.06	51°44'7.8" 19°28'54.1"
4	DPP - w płaszczyźnie otworu okiennego biura, piętro 1/1, Józefa Ignacego Kraszewskiego 7/9, Łódź	2.0	2.5	3.9	0.14	51°44'7.8" 19°28'53.8"
5	DPP - w płaszczyźnie otworu okiennego mieszkania 33, piętro 2/2, Józefa Ignacego Kraszewskiego 20, Łódź	2.0	2.5	3.9	0.14	51°44'8.9" 19°28'55.6"
6	DPP - w płaszczyźnie otworu okiennego budynku mieszkalnego, na parterze, Józefa Ignacego Kraszewskiego 24, Łódź	2.0	2.0	3.1	0.11	51°44'7.8" 19°28'55.9"
7	DPP - w płaszczyźnie otworu okiennego mieszkania 30, piętro 4/4, Kołowa 13/15, Łódź	2.0	1.4	2.2	0.08	51°44'8.9" 19°28'58.1"
8	DPP - w płaszczyźnie otworu okiennego budynku mieszkalnego, na parterze, Józefa Ignacego Kraszewskiego 18, Łódź	2.0	1.2	1.9	0.07	51°44'9.6" 19°28'55.6"
9	DPP - w płaszczyźnie otworu okiennego budynku mieszkalnego, klatka schodowa, piętro 1/1, Józefa Ignacego Kraszewskiego 24, Łódź	0.3-2.0	<1.0*	1.6	0.06	51°44'7.4" 19°28'56.3"
10	DPP - w płaszczyźnie otworu okiennego budynku mieszkalnego, ul. Józefa Ignacego Kraszewskiego 22, parter	2.0	1.7	2.7	0.1	51°44'8.2" 19°28'55.6"
11	GKP w odległości 14m od anteny sektorowej az. 80°	0.3-2.0	<1.0*	1.6	0.06	51°44'8.2" 19°28'54.1"
12	GKP w odległości 35m od anteny sektorowej az. 80°	2.0	2.0	3.1	0.11	51°44'8.2" 19°28'55.2"
13	GKP w odległości 89m od anteny sektorowej az. 80°	0.3-2.0	<1.0*	1.6	0.06	51°44'8.5" 19°28'58.1"

Sprawozdanie z badań bez pisemnej zgody laboratorium nie może być powielane inaczej niż w całości.
 Wynik przedstawione w niniejszym sprawozdaniu odnoszą się wyłącznie do badanego obiektu i do warunków i konfiguracji urządzeń w dniu wykonywania pomiarów.

-	GKP w odległości 122m od anteny sektorowej az. 80°	0.3-2.0	<1.0*	1.6	0.06	51°44'8.5" 19°28'59.9"
-	GKP w odległości 209m od anteny sektorowej az. 80°	0.3-2.0	<1.0*	1.6	0.06	51°44'9.2" 19°29'4.2"
16	GKP w odległości 35m od anteny sektorowej az. 192°	2.0	1.8	2.8	0.1	51°44'6.7" 19°28'53.0"
17	GKP w odległości 62m od anteny sektorowej az. 192°	2.0	2.1	3.3	0.12	51°44'6.0" 19°28'52.7"
18	GKP w odległości 91m od anteny sektorowej az. 192°	2.0	2.2	3.5	0.12	51°44'4.9" 19°28'52.7"
19	GKP w odległości 122m od anteny sektorowej az. 192°	2.0	1.8	2.8	0.1	51°44'4.2" 19°28'52.3"
20	GKP w odległości 15m od anteny sektorowej az. 290°	2.0	1.4	2.2	0.08	51°44'8.2" 19°28'52.7"
21	GKP w odległości 52m od anteny sektorowej az. 290°	2.0	2.0	3.1	0.11	51°44'8.5" 19°28'50.9"
22	GKP w odległości 90m od anteny sektorowej az. 290°	2.0	2.3	3.6	0.13	51°44'8.9" 19°28'49.1"
-	GKP w odległości 111m od anteny sektorowej az. 290°	2.0	2.1	3.3	0.12	51°44'9.2" 19°28'48.0"
24	GKP w odległości 20m od anteny radioliniowej az. 310°	2.0	1.5	2.4	0.08	51°44'8.5" 19°28'52.7"
25	PKP na az. 34° w odległości 55m od anteny sektorowej az. 80°	2.0	1.7	2.7	0.1	51°44'9.6" 19°28'55.2"
26	PKP na az. 50° w odległości 47m od anteny sektorowej az. 80°	2.0	1.9	3	0.11	51°44'8.9" 19°28'55.6"
27	PKP na az. 65° w odległości 39m od anteny sektorowej az. 80°	2.0	1.8	2.8	0.1	51°44'8.5" 19°28'55.6"
28	PKP na az. 95° w odległości 35m od anteny sektorowej az. 80°	2.0	1.7	2.7	0.1	51°44'7.8" 19°28'55.6"
29	PKP na az. 110° w odległości 38m od anteny sektorowej az. 80°	2.0	1.9	3	0.11	51°44'7.4" 19°28'55.6"
30	PKP na az. 126° w odległości 48m od anteny sektorowej az. 80°	2.0	1.6	2.5	0.09	51°44'7.1" 19°28'55.6"
31	PKP na az. 146° w odległości 43m od anteny sektorowej az. 192°	2.0	1.5	2.4	0.08	51°44'6.7" 19°28'54.8"
32	PKP na az. 162° w odległości 50m od anteny sektorowej az. 192°	0.3-2.0	<1.0*	1.6	0.06	51°44'6.4" 19°28'54.5"
33	PKP na az. 177° w odległości 48m od anteny sektorowej az. 192°	0.3-2.0	<1.0*	1.6	0.06	51°44'6.4" 19°28'53.8"
34	PKP na az. 207° w odległości 53m od anteny sektorowej az. 192°	2.0	2.0	3.1	0.11	51°44'6.4" 19°28'52.3"
35	PKP na az. 222° w odległości 54m od anteny sektorowej az. 192°	2.0	2.5	3.9	0.14	51°44'6.7" 19°28'51.6"

Sprawozdanie z badań bez pisemnej zgody laboratorium nie może być powielane inaczej niż w całości.
 Wynik przedstawione w niniejszym sprawozdaniu odnoszą się wyłącznie do badanego obiektu i do warunków i konfiguracji urządzeń w dniu wykonywania pomiarów.

36	PKP na az. 238° w odległości 53m od anteny sektorowej az. 192°	2.0	2.0	3.1	0.11	51°44'7.1" 19°28'51.2"
37	PKP na az. 244° w odległości 46m od anteny sektorowej az. 290°	2.0	2.2	3.5	0.12	51°44'7.4" 19°28'51.2"
38	PKP na az. 260° w odległości 56m od anteny sektorowej az. 290°	2.0	1.8	2.8	0.1	51°44'7.8" 19°28'50.5"
39	PKP na az. 275° w odległości 53m od anteny sektorowej az. 290°	2.0	2.2	3.5	0.12	51°44'8.2" 19°28'50.9"
40	PKP na az. 305° w odległości 29m od anteny sektorowej az. 290°	2.0	1.7	2.7	0.1	51°44'8.5" 19°28'52.3"
41	PKP na az. 320° w odległości 26m od anteny sektorowej az. 290°	2.0	1.5	2.4	0.08	51°44'8.5" 19°28'52.7"
42	PKP na az. 336° w odległości 27m od anteny sektorowej az. 290°	2.0	1.9	3	0.11	51°44'8.9" 19°28'53.0"

Pole magnetyczne (wyznaczone na podstawie pomiaru wartości natężenia pola elektrycznego)

Nr pionu	Opis umiejscowienia pionu (punktu pomiarowego)	Wysokość pomiaru [m]	Wartość natężenia pola magnetycznego H [A/m] ¹	Wartość natężenia pola magnetycznego powiększona o niepewność pomiaru ⁴ H [A/m]	Wskaźnikowa wartość poziomu emisji pól elektromagnetycznych WM _n ³	Współrzędne geograficzne pionu (punktu pomiarowego) ²
1	DPP - w płaszczyźnie otworu okiennego biura, piętro 1/1, Józefa Ignacego Kraszewskiego 7/9, Łódź	2.0	0.006	0.01	0.13	51°44'7.4" 19°28'53.4"
2	DPP - na tarasie biura, piętro 1/1, Józefa Ignacego Kraszewskiego 7/9, Łódź	2.0	0.006	0.009	0.13	51°44'7.1" 19°28'53.4"
3	DPP - w płaszczyźnie otworu okiennego biura, piętro 1/1, Józefa Ignacego Kraszewskiego 7/9, Łódź	0.3-2.0	<0.003*	0.004	0.06	51°44'7.8" 19°28'54.1"
4	DPP - w płaszczyźnie otworu okiennego biura, piętro 1/1, Józefa Ignacego Kraszewskiego 7/9, Łódź	2.0	0.007	0.01	0.14	51°44'7.8" 19°28'53.8"
5	DPP - w płaszczyźnie otworu okiennego mieszkania 33, piętro 2/2, Józefa Ignacego Kraszewskiego 20, Łódź	2.0	0.007	0.01	0.14	51°44'8.9" 19°28'55.6"
6	DPP - w płaszczyźnie otworu okiennego budynku mieszkalnego, na parterze, Józefa Ignacego Kraszewskiego 24, Łódź	2.0	0.005	0.008	0.11	51°44'7.8" 19°28'55.9"

Sprawozdanie z badań bez pisemnej zgody laboratorium nie może być powielane inaczej niż w całości.
 Wynik przedstawione w niniejszym sprawozdaniu odnoszą się wyłącznie do badanego obiektu i do warunków i konfiguracji urządzeń w dniu wykonywania pomiarów.

7	DPP - w płaszczyźnie otworu okiennego mieszkania 30, piętro 4/4, Kołowa 13/15, Łódź	2.0	0.004	0.006	0.08	51°44'8.9" 19°28'58.1"
8	DPP - w płaszczyźnie otworu okiennego budynku mieszkalnego, na parterze, Józefa Ignacego Kraszewskiego 18, Łódź	2.0	0.003	0.005	0.07	51°44'9.6" 19°28'55.6"
9	DPP - w płaszczyźnie otworu okiennego budynku mieszkalnego, klatka schodowa, piętro 1/1, Józefa Ignacego Kraszewskiego 24, Łódź	0.3-2.0	<0.003*	0.004	0.06	51°44'7.4" 19°28'56.3"
10	DPP - w płaszczyźnie otworu okiennego budynku mieszkalnego, ul. Józefa Ignacego Kraszewskiego 22, parter	2.0	0.005	0.007	0.1	51°44'8.2" 19°28'55.6"
11	GKP w odległości 14m od anteny sektorowej az. 80°	0.3-2.0	<0.003*	0.004	0.06	51°44'8.2" 19°28'54.1"
12	GKP w odległości 35m od anteny sektorowej az. 80°	2.0	0.005	0.008	0.11	51°44'8.2" 19°28'55.2"
13	GKP w odległości 89m od anteny sektorowej az. 80°	0.3-2.0	<0.003*	0.004	0.06	51°44'8.5" 19°28'58.1"
-	GKP w odległości 122m od anteny sektorowej az. 80°	0.3-2.0	<0.003*	0.004	0.06	51°44'8.5" 19°28'59.9"
-	GKP w odległości 209m od anteny sektorowej az. 80°	0.3-2.0	<0.003*	0.004	0.06	51°44'9.2" 19°29'4.2"
16	GKP w odległości 35m od anteny sektorowej az. 192°	2.0	0.005	0.007	0.1	51°44'6.7" 19°28'53.0"
17	GKP w odległości 62m od anteny sektorowej az. 192°	2.0	0.006	0.009	0.12	51°44'6.0" 19°28'52.7"
18	GKP w odległości 91m od anteny sektorowej az. 192°	2.0	0.006	0.009	0.13	51°44'4.9" 19°28'52.7"
19	GKP w odległości 122m od anteny sektorowej az. 192°	2.0	0.005	0.007	0.1	51°44'4.2" 19°28'52.3"
20	GKP w odległości 15m od anteny sektorowej az. 290°	2.0	0.004	0.006	0.08	51°44'8.2" 19°28'52.7"
21	GKP w odległości 52m od anteny sektorowej az. 290°	2.0	0.005	0.008	0.11	51°44'8.5" 19°28'50.9"
22	GKP w odległości 90m od anteny sektorowej az. 290°	2.0	0.006	0.01	0.13	51°44'8.9" 19°28'49.1"
-	GKP w odległości 111m od anteny sektorowej az. 290°	2.0	0.006	0.009	0.12	51°44'9.2" 19°28'48.0"
24	GKP w odległości 20m od anteny radioliniowej az. 310°	2.0	0.004	0.006	0.09	51°44'8.5" 19°28'52.7"
25	PKP na az. 34° w odległości 55m od anteny sektorowej az. 80°	2.0	0.005	0.007	0.1	51°44'9.6" 19°28'55.2"
26	PKP na az. 50° w odległości 47m od	2.0	0.005	0.008	0.11	51°44'8.9" 19°28'55.6"

Sprawozdanie z badań bez pisemnej zgody laboratorium nie może być powielane inaczej niż w całości.
 Wynik przedstawione w niniejszym sprawozdaniu odnoszą się wyłącznie do badanego obiektu i do warunków i konfiguracji urządzeń w dniu wykonywania pomiarów.

	anteny sektorowej az. 80°					
27	PKP na az. 65° w odległości 39m od anteny sektorowej az. 80°	2.0	0.005	0.007	0.1	51°44'8.5" 19°28'55.6"
28	PKP na az. 95° w odległości 35m od anteny sektorowej az. 80°	2.0	0.005	0.007	0.1	51°44'7.8" 19°28'55.6"
29	PKP na az. 110° w odległości 38m od anteny sektorowej az. 80°	2.0	0.005	0.008	0.11	51°44'7.4" 19°28'55.6"
30	PKP na az. 126° w odległości 48m od anteny sektorowej az. 80°	2.0	0.004	0.007	0.09	51°44'7.1" 19°28'55.6"
31	PKP na az. 146° w odległości 43m od anteny sektorowej az. 192°	2.0	0.004	0.006	0.09	51°44'6.7" 19°28'54.8"
32	PKP na az. 162° w odległości 50m od anteny sektorowej az. 192°	0.3-2.0	<0.003*	0.004	0.06	51°44'6.4" 19°28'54.5"
33	PKP na az. 177° w odległości 48m od anteny sektorowej az. 192°	0.3-2.0	<0.003*	0.004	0.06	51°44'6.4" 19°28'53.8"
34	PKP na az. 207° w odległości 53m od anteny sektorowej az. 192°	2.0	0.005	0.008	0.11	51°44'6.4" 19°28'52.3"
35	PKP na az. 222° w odległości 54m od anteny sektorowej az. 192°	2.0	0.007	0.01	0.14	51°44'6.7" 19°28'51.6"
36	PKP na az. 238° w odległości 53m od anteny sektorowej az. 192°	2.0	0.005	0.008	0.11	51°44'7.1" 19°28'51.2"
37	PKP na az. 244° w odległości 46m od anteny sektorowej az. 290°	2.0	0.006	0.009	0.13	51°44'7.4" 19°28'51.2"
38	PKP na az. 260° w odległości 56m od anteny sektorowej az. 290°	2.0	0.005	0.007	0.1	51°44'7.8" 19°28'50.5"
39	PKP na az. 275° w odległości 53m od anteny sektorowej az. 290°	2.0	0.006	0.009	0.13	51°44'8.2" 19°28'50.9"
40	PKP na az. 305° w odległości 29m od anteny sektorowej az. 290°	2.0	0.005	0.007	0.1	51°44'8.5" 19°28'52.3"
41	PKP na az. 320° w odległości 26m od anteny sektorowej az. 290°	2.0	0.004	0.006	0.09	51°44'8.5" 19°28'52.7"
42	PKP na az. 336° w odległości 27m od anteny sektorowej az. 290°	2.0	0.005	0.008	0.11	51°44'8.9" 19°28'53.0"

GKP – Główny Kierunek Pomiarowy

DPP – Dodatkowy Pion Pomiarowy

PKP – Pomocniczy Kierunek Pomiarowy

¹ wyniki oznaczone * są wynikami poniżej czułości zestawu pomiarowego i są wynikami spoza zakresu akredytacji. Do obliczenia wyniku skorygowanego przyjęto wartość skorelowaną z rzeczywistym wynikiem pomiaru - dolną granicę akredytowanego zakresu pomiarowego metody

² współrzędne geograficzne pozyskane metodą pomiaru bezpośredniego

³ do wyznaczenia wartości wskaźnikowej W_{ME} i W_{MH} przyjęto na podstawie uzgodnień z klientem oraz rozpoznania źródeł, jako wartości dopuszczalne pola elektrycznego i magnetycznego odpowiednio 28 V/m i 0,073 A/m.

Sprawozdanie z badań bez pisemnej zgody laboratorium nie może być powielane inaczej niż w całości.
 Wynik przedstawione w niniejszym sprawozdaniu odnoszą się wyłącznie do badanego obiektu i do warunków i konfiguracji urządzeń w dniu wykonywania pomiarów.

⁴ do wyznaczenia niepewności dla wyników poniżej czułości zestawu pomiarowego, przyjęto niepewność dla minimalnej wartości z zakresu pomiarowego.

⁵ maksymalna wartość chwilowa

Niepewność oszacowano zgodnie z dokumentem P-03 „Procedura nadzoru nad wyposażeniem” w postaci niepewności rozszerzonej wynikającej z niepewności standardowej pomnożonej przez współczynnik rozszerzenia $k=2$.

Całkowita szacowana niepewność rozszerzona składowej E wynosi odpowiednio: 56,9% dla częstotliwości do 40 GHz

Pomiarów nie wykonano:

Oznaczenie braku dostępu	Opis umiejscowienia
A	W budynku mieszkalnym pod adresem Ul. Józefa Ignacego Kraszewskiego 22, z powodu braku mieszkańców
B	W mieszkaniach nr 8 pod adresem Ul. Józefa Ignacego Kraszewskiego 22, z powodu braku mieszkańców
C	W mieszkaniach nr 7 pod adresem Ul. Józefa Ignacego Kraszewskiego 22, z powodu Pustostan
D	W mieszkaniach nr 47, 46, 45, 44, 42, 41, 40, 39, 37, 26-30, 16-21 pod adresem Józefa Ignacego Kraszewskiego 18, z powodu braku mieszkańców
E	W mieszkaniach nr 43 pod adresem Józefa Ignacego Kraszewskiego 18, z powodu braku zgody właściciela na wykonanie pomiaru

Umiejscowienie pionów (punktów) pomiarowych przedstawiono w załączniku nr 2 do niniejszego sprawozdania.

10. Omówienie wyników pomiarów

W związku z tym, że żadna z wartości zmierzonych, udokumentowanych w tabelach w pkt. 9, uzyskanych w skutek zastosowania pomiaru szerokopasmowego, powiększonego o rozszerzoną niepewność pomiaru U dla współczynnika rozszerzenia $k = 2$ nie przekroczyła 70% najniższej dopuszczalnej wartości składowej elektrycznej lub magnetycznej pola dla objętych pomiarami zakresów częstotliwości, nie uwzględnia się poprawek pomiarowych.

W wyniku zastosowania sposobu sprawdzenia dotrzymania dopuszczalnych poziomów pól elektromagnetycznych w środowisku, zgodnie pkt 25 ppkt 1 Rozporządzenia Ministra Klimatu z dnia 17 lutego 2020 r. (Dz. U. 2022, poz. 2630), w związku z tym, że żadna z wartości wskaźnikowych, udokumentowanych w tabelach w pkt. 9 nie przekracza wartości 1, stwierdza się, że w miejscach, w których wykonano pomiary w otoczeniu instalacji radiokomunikacyjnej 29773 (90058N!) WLD_LODZ_KRASZEWSKIEG9, dopuszczalne poziomy pól elektromagnetycznych w środowisku należy uznać za dotrzymane.

Miejsca niedostępne podczas wykonywania pomiarów wskazane zostały w pkt. 9 (Wyniki pomiarów) lub na załączniku przedstawiającym usytuowanie pionów pomiarowych

11. Podstawa prawna

- 1) Ustawa z dnia 27 kwietnia 2001 r. Prawo ochrony środowiska (Dz.U. 2024 poz. 54)
- 2) Rozporządzenie Ministra Zdrowia z dnia 17 grudnia 2019 r. w sprawie dopuszczalnych poziomów pól elektromagnetycznych w środowisku (Dz. U. 2019, poz. 2448)
- 3) Rozporządzenie Ministra Klimatu z dnia 17 lutego 2020 r. w sprawie sposobów sprawdzania dotrzymania dopuszczalnych poziomów pól elektromagnetycznych w środowisku (Dz. U. 2022, poz. 2630),
- 4) Akredytacja nr AB 419 wydana przez Polskie Centrum Akredytacji (wydanie 22, z dnia 9 stycznia 2024 r.)

12. Spis załączników

Załącznik 1. Lokalizacja obiektu badań

Załącznik 2. Usytuowanie pionów (punktów) pomiarowych

Załącznik 3. Dokumentacja fotograficzna obiektu badań

Sprawozdanie z badań bez pisemnej zgody laboratorium nie może być powielane inaczej niż w całości.
Wynik przedstawione w niniejszym sprawozdaniu odnoszą się wyłącznie do badanego obiektu i do warunków i konfiguracji urządzeń w dniu wykonywania pomiarów.

13. Data wydania i autoryzowania sprawozdania

Obliczenia i sprawozdanie wykonał :



Signed by /
Podpisano przez:

...

Date / Data:
2024-07-25 22:53

Sprawozdanie autoryzował:

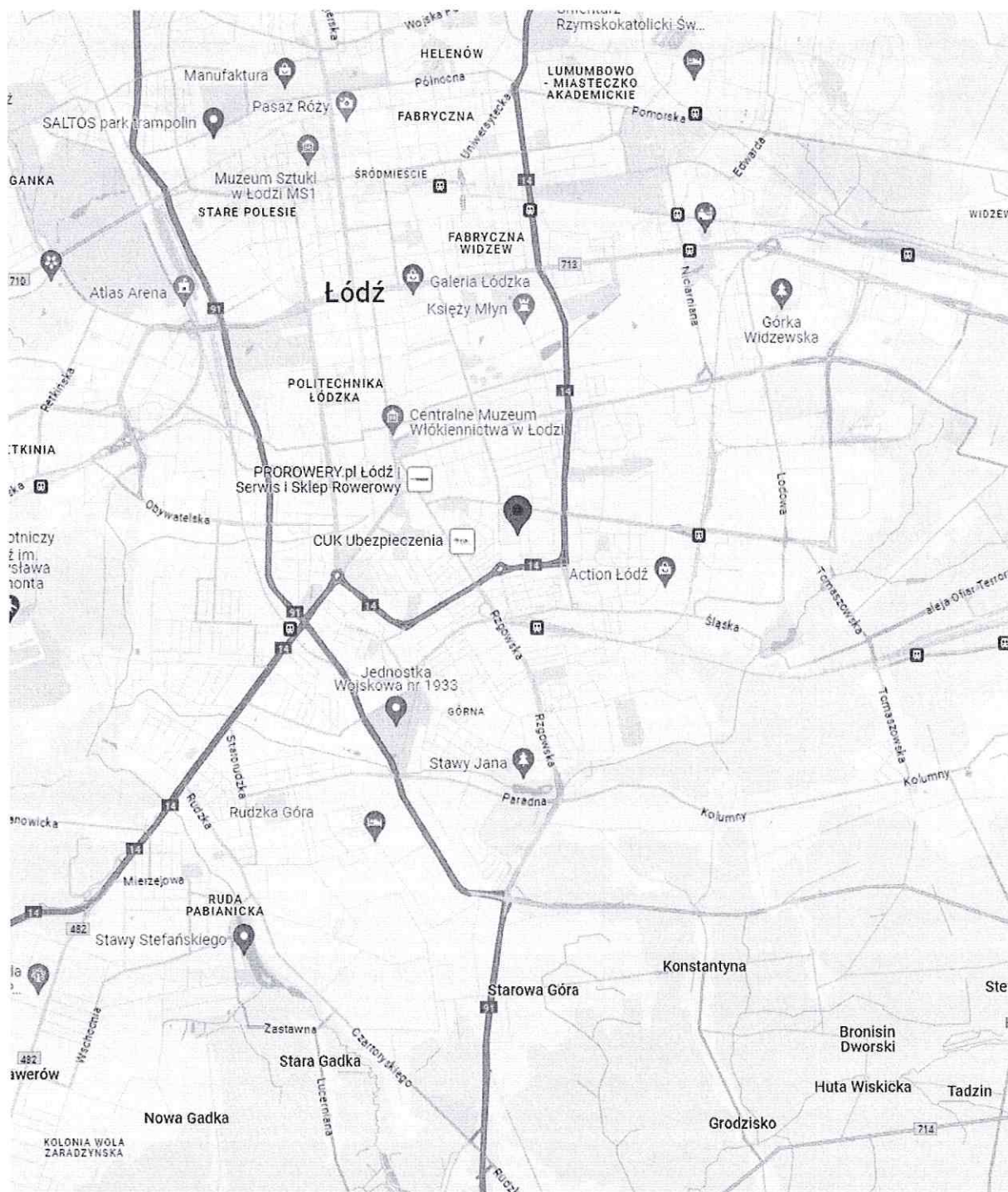


Signed by /
Podpisano przez:

Date / Data:
2024-07-26
17:00

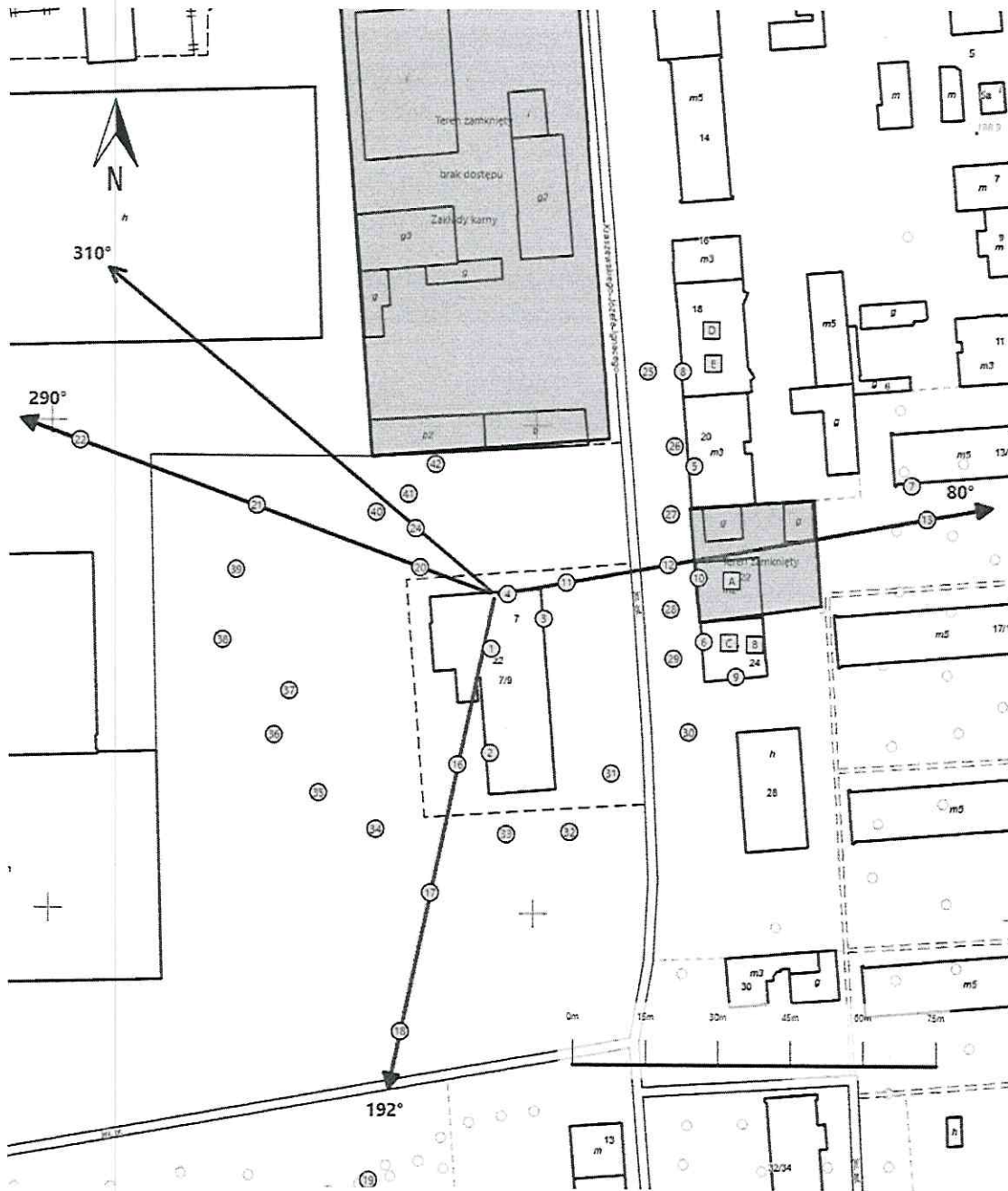
Koniec sprawozdania





Sprawozdanie z badań bez pisemnej zgody laboratorium nie może być powielane inaczej niż w całości.
Wynik przedstawione w niniejszym sprawozdaniu odnoszą się wyłącznie do badanego obiektu i do warunków i konfiguracji urządzeń w dniu wykonywania pomiarów.



Załącznik nr 1	Instalacja radiokomunikacyjna T-Mobile Polska S.A. 29773 (90058N!) WLD_LODZ_KRASZEWSKIEG9 Lokalizacja instalacji radiokomunikacyjnej
----------------	--

Sprawozdanie z badań bez pisemnej zgody laboratorium nie może być powielane inaczej niż w całości.
Wynik przedstawione w niniejszym sprawozdaniu odnoszą się wyłącznie do badanego obiektu i do warunków i konfiguracji urządzeń w dniu wykonywania pomiarów.



Załącznik nr 2	Instalacja radiokomunikacyjna T-Mobile Polska S.A. WLD_LODZ_KRASZEWSKIEG9 (90058N!) Usytuowanie pionów pomiarowych w otoczeniu instalacji radiokomunikacyjnej
Legenda:	<div style="display: flex; justify-content: space-around; align-items: center;"> <div style="text-align: center;">  Brak dostępu </div> <div style="text-align: center;">  Pion pomiarowy </div> <div style="text-align: center;">  Kierunek oddziaływania anten sektorowych </div> <div style="text-align: center;">  Kierunek oddziaływania anten radioliniowych </div> </div>

Sprawozdanie z badań bez pisemnej zgody laboratorium nie może być powielane inaczej niż w całości.
 Wynik przedstawione w niniejszym sprawozdaniu odnoszą się wyłącznie do badanego obiektu i do warunków i konfiguracji urządzeń w dniu wykonywania pomiarów.



Załącznik nr 3

Instalacja radiokomunikacyjna T-Mobile Polska S.A.
29773 (90058N!) WLD_LODZ_KRASZEWSKIEG9

Dokumentacja fotograficzna

Sprawozdanie z badań bez pisemnej zgody laboratorium nie może być powielane inaczej niż w całości.
Wynik przedstawione w niniejszym sprawozdaniu odnoszą się wyłącznie do badanego obiektu i do warunków i konfiguracji urządzeń w dniu wykonywania pomiarów.